

Эксперименты проводились при фиксированном значении $\omega_1 = 17\,450\text{ см}^{-1}$ и варьировании ω_2 , при этом разность частот $\Delta\omega = \omega_1 - \omega_2$ изменялась в интервале $0-100\text{ см}^{-1}$. Частоты ω_1 и ω_2 располагались вдали от максимума полосы поглощения, плотность мощности пучков ω_1 и ω_2 на образце составляла $\approx 5\text{ МВт/см}^2$.

Нелинейное взаимодействие пучков ω_1 и ω_2 со средой приводит к появлению сигнала рассеяния на частоте $\omega_s = 2\omega_1 - \omega_2$. Интенсивность сигнала рассеяния I_s определяется величиной $|\chi^{(3)}| \sim \sqrt{I_s}$, а зависимость I_s от расстройки частот $\Delta\omega$ — динамическими свойствами восприимчивости [5]. Измерение зависимостей интенсивности сигнала рассеяния от интенсивностей пучков ω_1 и ω_2 позволяет оценить величину $|\chi^{(3)}|$ в исследуемых образцах $\sim 10^{-12}$ ед. СГСЭ. Точность измерения не превышает 50 %, более точное измерение было затруднено в связи со значительным рассеянием света в образцах. При переходе от расстроек $\Delta\omega = 15\text{ см}^{-1}$ к $\Delta\omega = 70\text{ см}^{-1}$ наблюдалось уменьшение величины $|\chi^{(3)}|$ в 2—3 раза. Этот результат позволяет оценить время затухания нелинейной поляризации как $\approx 10^{-13}$ с. Поскольку известно, что величина $\chi^{(3)}$ в полимере на 3 порядка больше, чем в соответствующем мономере [2], можно предположить, что наблюдаемые нелинейные оптические свойства связаны именно с полимером. Зная процентное содержание полимера ($\sim 1\%$), можно оценить значение $|\chi^{(3)}|$ для полностью полимерного образца $\approx 10^{-10}$ эд ст. ед.

Сравнивая полученные результаты с литературными данными для других производных ПДА [2], можно сказать, что как величина $\chi^{(3)}$, так и время релаксации соответствуют типичным значениям в области нерезонансных переходов. Отметим, что в нашем случае существует возможность увеличения $\chi^{(3)}$ как за счет увеличения степени полимеризации (с помощью γ -облучения), так и за счет изготовления ориентированных полимерных пленок. Учитывая сказанное, а также простоту изготовления оптически однородных пленок, можно сделать вывод о перспективности данного материала для использования в нелинейных оптических устройствах.

Авторы благодарят С. В. Куля, А. Г. Спиро и В. Л. Богданова за измерение нелинейных оптических свойств.

Список литературы

- [1] Гиббс Х. Оптическая бистабильность. М.: Мир, 1988.
- [2] Нелинейные оптические свойства органических молекул и кристаллов. Т. 2. / Под ред. Д. Шмелы и Ж. Зисса. М.: Мир, 1989.
- [3] Мостяманди А., Ремизова Л. А., Фоменкова Т. А., Фаворская И. А. // ИС, ОпХ. 1982. Т. 18. В. 5. С. 977.
- [4] Peleger J., Kminez I., Prasad P. N. // Synth. Met. 1990. V. 37. N 2. P. 255—261.
- [5] Yajima T., Souma H. // Phys. Rev. A. 1978. V. 17. N 1. P. 309—323.

Физико-технический институт
им. А. Ф. Иоффе АН СССР
Санкт-Петербург

Поступило в Редакцию
3 апреля 1991 г.

К КИНЕТИКЕ ДВУМЕРНОГО ДИСЛОКАЦИОННОГО АНСАМБЛЯ

А. Л. Гайков, А. Е. Романов

В последнее время для выявления особенностей поведения дислокационного ансамбля (анализа различных неустойчивостей его развития) активно используется кинетический подход [1—3]. Пионерскими работами в данном направлении являются исследования [4, 5]. Корректный вывод

уравнений, управляющих кинетикой дефектов — актуальная задача, рассмотрение которой позволит учесть природу используемых предположений при физическом осмыслении решений данных уравнений. Например, в [1, 2] в стандартные уравнения неразрывности для плотности дислокаций практически «руками» вводились слагаемые диффузионной природы в потоковый член. Затем рассматривалась некоторая феноменология, поясняющая появление подобных слагаемых. Единственная корректная с математической точки зрения попытка обосновать появление диффузионного члена в уравнениях кинетики дислокаций была предпринята в [6], где, однако, рассматривался малореалистичный одномерный случай и все дислокации считались имеющими одинаковый знак. В настоящей работе дается вывод уравнений, описывающих изменение плотностей разнознаковых дислокаций в двумерном случае.

Рассмотрим ансамбль положительных и отрицательных дислокаций числом $2N$. Тогда, не учитывая переходные процессы и отбрасывая инерционные члены, уравнения движения отдельной дислокации с координатами x и y можно записать в виде

$$\begin{aligned} \dot{x}_{\pm i} &= \pm s_x(x_i, y_i, t) \mp \int_{\Omega} K_x(x_i, y_i, u, v) [\rho_+(u, v, t) - \rho_-(u, v, t)] dudv + F_{ix}, \\ \dot{y}_{\pm i} &= \pm s_y(x_i, y_i, t) \mp \int_{\Omega} K_y(x_i, y_i, u, v) [\rho_+(u, v, t) - \rho_-(u, v, t)] dudv + F_{iy}, \end{aligned} \quad (1)$$

Здесь знаки «+» или «-» относятся к положительным или отрицательным дислокациям, зависящим от времени и координат, плотности которых соответственно ρ_+ или ρ_- ; i нумерует дислокации; s_m ($m=x, y$) — проекции скорости дислокации за счет внешней силы. Вторые члены в уравнениях (1) учитывают взаимодействие в ансамбле дислокаций во всем объеме тела Ω ; например, для краевых дислокаций с векторами Бюргерса $\mathbf{b} = \pm b\mathbf{e}_x$ функции K_m равны [7]

$$\begin{aligned} K_x &= \frac{Db}{B_x} \frac{(x-u)[(x-u)^2 - (y-v)^2]}{[(x-u)^2 + (y-v)^2]^2}, \\ K_y &= \frac{Db}{B_y} \frac{(y-v)[3(x-u)^2 + (y-v)^2]}{[(x-u)^2 + (y-v)^2]^2}, \end{aligned} \quad (2)$$

где $D = G/2\pi(1-\nu)$, G — модуль сдвига, ν — коэффициент Пуассона, B_m — коэффициент вязкого торможения дислокаций.

Слагаемые F_{im} представляют собой скорость движения дислокаций за счет действия случайной силы, связанной со случайно расположенными центрами внутренних напряжений в твердом теле, например дислокациями леса или облаками точечных дефектов. Распределение случайной силы считается гауссовым [8], тогда

$$\begin{aligned} \langle F_{ix}(x_i) F_{jx}(x'_j) \rangle &= \delta_{ij} D_x(x_i - x'_j), \\ \langle F_{iy}(y_i) F_{jy}(y'_j) \rangle &= \delta_{ij} D_y(y_i - y'_j), \\ \langle F_{iy}(y_i) F_{jx}(x'_j) \rangle &= 0. \end{aligned} \quad (3)$$

В (3) D_x и D_y — зависящие от координат коэффициенты диффузии, а усреднение производится по ансамблю реализаций случайных величин F_{im} .

Теперь для плотностей вероятностей $\Phi_{\pm}(x_1, \dots, x_N, y_1, \dots, y_N, t)$ ¹ с использованием (1) и (3) можно записать следующую систему уравнений Фоккера—Планка [9]:

¹ $\Phi_{\pm}(x_1, \dots, x_N, y_1, \dots, y_N, t) dx_1 \dots dx_N dy_1 \dots dy_N$ дают вероятность нахождения ансамбля из N дислокаций в состоянии с координатами $(x_1, x_1 + dx_1) \dots (x_N, x_N + dx_N)$ и $(y_1, y_1 + dy_1) \dots (y_N, y_N + dy_N)$ в момент времени t .

$$\begin{aligned} \frac{\partial \Phi_{\pm}}{\partial t} = & - \sum_{j=1}^N \left[\frac{\partial}{\partial x_j} \left\{ \left[\pm s_x(x_i, y_i, t) \mp \iint_{\Omega} K_x(\rho_+ - \rho_-) dudv \right] \Phi_{\pm} \right\} - \right. \\ & - \frac{\partial}{\partial y_j} \left\{ \left[\pm s_y(x_i, y_i, t) \mp \iint_{\Omega} K_y(\rho_+ - \rho_-) dudv \right] \Phi_{\pm} \right\} + \\ & \left. + \frac{1}{2} \frac{\partial}{\partial x_j} \left[D_x(x) \frac{\partial \Phi_{\pm}}{\partial x_j} \right] + \frac{1}{2} \frac{\partial}{\partial y_j} \left[D_y(y) \frac{\partial \Phi_{\pm}}{\partial y_j} \right] \right]. \quad (4) \end{aligned}$$

По аналогии с [8] решение системы (4) будем искать в виде произведения одночастичных функций распределения

$$\Phi_{\pm}(x_1 \dots x_N, y_1 \dots y_N, t) = \prod_j \varphi_{\pm j}(x_j, y_j, t_j). \quad (5)$$

Учитывая соотношение между одночастичными функциями распределения $\varphi_{\pm i}$ и плотностями дислокаций ρ_{\pm}

$$\rho_{\pm} = \sum_{j=1}^N \varphi_{\pm j}, \quad (6)$$

окончательно находим следующую систему уравнений:

$$\begin{aligned} \frac{\partial \rho_{\pm}}{\partial t} = & \frac{1}{2} \frac{\partial}{\partial x} \left(D_x \frac{\partial \rho_{\pm}}{\partial x} \right) \mp \frac{\partial}{\partial x} \left\{ \left[s_x(x, y, t) - \iint_{\Omega} K_x(\rho_+ - \rho_-) dudv \right] \rho_{\pm} \right\} + \\ & + \frac{1}{2} \frac{\partial}{\partial y} \left(D_y \frac{\partial \rho_{\pm}}{\partial y} \right) \mp \frac{\partial}{\partial y} \left\{ \left[s_y(x, y, t) - \iint_{\Omega} K_y(\rho_+ - \rho_-) dudv \right] \rho_{\pm} \right\}. \quad (7) \end{aligned}$$

Полученная система (7) учитывает как наличие внешнего напряжения, действующего на дислокации, так и их взаимодействие между собой (интегральные члены) и со случайными полями внутренних напряжений. В представленном виде система содержит ряд не определенных еще параметров, таких как коэффициенты диффузии дислокаций, геометрия задачи Ω , граничные и начальные условия. Подробный анализ данного вопроса требует специального исследования.

Для коэффициентов диффузии можно воспользоваться имеющимися соотношениями (см., например, [8]) и считать их не зависящими от координат. В некоторых случаях можно пренебречь дальнедействием дислокаций и опустить интегральные члены. Если предположить наличие в твердом теле источников и стоков дислокаций, то в правую часть (7) необходимо включить соответствующие потоки дефектов. В результате сделанные предположения и допущения позволяют записать следующие уравнения кинетики двумерного ансамбля дислокаций:

$$\frac{\partial \rho_{\pm}}{\partial t} = \frac{D_x}{2} \frac{\partial^2 \rho_{\pm}}{\partial x^2} + \frac{D_y}{2} \frac{\partial^2 \rho_{\pm}}{\partial y^2} \mp \frac{\partial}{\partial x} (s_x \rho_{\pm}) \mp \frac{\partial}{\partial y} (s_y \rho_{\pm}) + \alpha(\rho_- + \rho_+) - \beta \rho_- \rho_+, \quad (8)$$

где α и β — коэффициенты размножения и аннигиляции дислокаций соответственно.

Решение даже такой упрощенной системы дает очень интересные результаты: например, осциллирующее по координате x распределение плотности ρ (вдоль направления скольжения краевых дислокаций), одновременно распространяющееся в виде солитона по координате y (перпендикулярно плоскости скольжения). Такая ситуация соответствует экспериментальным данным о развитии фронтов полос переориентации в материале [10]. Поскольку (7) и (8) являются нелинейными системами, ставя различные граничные и начальные условия, можно получить ряд других содержательных решений. Анализ системы (8) будет посвящена отдельная публикация.

- [1] Aifantis E. C. // Int. J. Plast. 1987. V. 3. N 2. P. 211—247.
- [2] Louchet F., Brechet Y. // Solid State Phenom. 1988. V. 3—4. P. 335—346.
- [3] Малыгин Г. А. // ФТТ. 1990. Т. 32. № 4. С. 1102—1107.
- [4] Vladimirov V. I., Pegel B. // Phys. Stat. Sol. (b). 1973. V. 56. N 2. P. K105—K109.
- [5] Владимиров В. И., Кусов А. А. // ФТТ. 1976. Т. 18. № 6. С. 1523—1528.
- [6] Bottani C. E. // Nuovo Cimento. 1989. V. 11. N 6. P. 865—883.
- [7] Хирт Дж., Логс И. Теория дислокаций. М., 1970. 599 с.
- [8] Струнин Б. М. // ФТТ. 1967. Т. 9. № 3. С. 805—812.
- [9] Кляцкин В. И. Статистическое описание динамических систем с флуктуирующими параметрами. М., 1975. 239 с.
- [10] Владимиров В. И., Романов А. Е. Дисклинации в кристаллах. Л., 1986. 224 с.

Физико-технический институт
им. А. Ф. Иоффе АН СССР
Санкт-Петербург

Поступило в Редакцию
12 апреля 1991 г.

УДК 548.571; 548.4

© Физика твердого тела, том 33, № 9, 1991

Solid State Physics, vol. 33, N 9, 1991

ЛЮМИНЕСЦЕНЦИЯ И СОЗДАНИЕ ДЕФЕКТОВ В ДЕФОРМИРОВАННОМ КРИСТАЛЛЕ КВг

М. М. Тайиров, К. С. Кадыров, Э. А. Жумабеков

В настоящей работе приводятся результаты исследований спектров фотолюминесценции и создания радиационных дефектов деформированного монокристалла КВг.

Одноосное сжатие кристаллов КВг высокой частоты, выращенного в ИФ АН Эстонии [1], осуществлялось при 300 К до $\epsilon=10\%$ по направ-

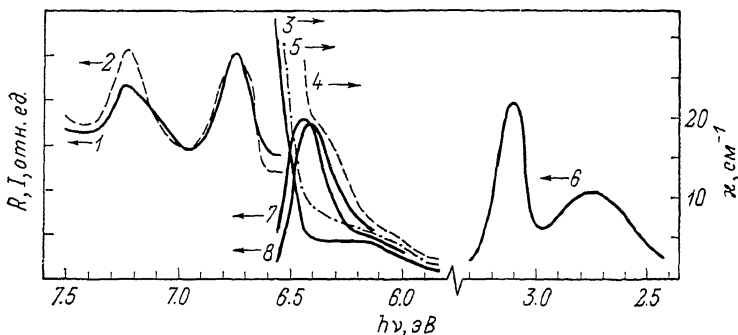


Рис. 1. Спектры отражения (1, 2) и поглощения длинноволнового края собственного поглощения (3, 4, 5) недеформированного (1, 3) и деформированного до 10 % при 300 (2, 4) и 500—520 К (5) кристалла КВг при 80 К. Спектры излучения (6), измеренные при 80 К при возбуждении фотонами 6.35 эВ, и возбуждения свечения 2.7 (7) и 3.1 эВ (8) деформированного КВг при 300 К.

лению кристаллической оси [100] со скоростью 0.05 мм/мин. Кристаллы возбуждались дейтериевой лампой ЛД (Д) через вакуумный монохроматор VM-2 (дисперсия 13 Å/мм). Люминесценция регистрировалась через монохроматор MS-80. Спектры фотолюминесценции и их возбуждение изучались при 80 К.

Спектры отражения недеформированного и деформированного КВг при 80 К представлены на рис. 1 (кривые 1, 2), откуда видно, что максимумы спектров отражения совпадают, а значит, одноосное сжатие кристаллов КВг до 10 % не приводит к изменению параметров кристаллической решетки.